

РОССИЙСКАЯ АКАДЕМИЯ НАУК

СИБИРСКОЕ ОТДЕЛЕНИЕ

А В Т О М Е Т Р И Я

---

№ 3

2000

УДК 621.391 : 53.08

Ю. Е. Воскобойников, И. Н. Мухина

(Новосибирск)

ЛОКАЛЬНЫЙ РЕГУЛЯРИЗИРУЮЩИЙ АЛГОРИТМ  
ВОССТАНОВЛЕНИЯ КОНТРАСТНЫХ СИГНАЛОВ  
И ИЗОБРАЖЕНИЙ

Предложен новый подход к построению локального регуляризующего алгоритма, в котором вместо скалярного используется векторный параметр регуляризации. Вводится новый сглаживающий функционал, точка минимума которого принимается в качестве регуляризированного решения. Построена итерационная процедура, вычисляющая точку минимума этого функционала. Приведенные результаты вычислительного эксперимента показали существенное увеличение точности восстановления контрастных сигналов по сравнению с «глобальными» регуляризирующими алгоритмами.

**Введение.** Многие задачи восстановления сигналов и изображений сводятся к решению системы линейных алгебраических уравнений (СЛАУ) вида

$$K\phi = f, \quad (1)$$

где  $K$  – матрица размером  $n \times m$ ;  $\phi, f$  – векторы соответствующей размерности. В общем случае система (1) является несовместной, плохо обусловленной с прямоугольной матрицей  $K$  ( $n > m$ ). Поэтому в качестве решения системы принимается нормальное псевдорешение  $\phi^+$  [1–3], которое всегда существует и единственno. Известно, что вычисление псевдорешения – неустойчивая задача (малые ошибки в исходных данных могут вызвать большие ошибки в псевдорешении). Поэтому для устойчивого построения псевдорешения используют методы регуляризации [1–4].

Предположим, что вместо точной правой части  $f$  задан вектор

$$\tilde{f} = f + \eta, \quad (2)$$

где  $\eta$  – случайный вектор «шума измерений», обусловленный ошибками дискретизации, шумами измерительной аппаратуры и т. д. Тогда в качестве приближения к искомому псевдорешению  $\phi^+$ , соответствующему точной правой части  $f$ , берется решение  $\phi_\alpha$  системы уравнений

$$(K^T W_f K + a W_\phi) \phi_\alpha = K^T W_f \tilde{f}, \quad (3)$$

где  $\alpha$  – параметр регуляризации;  $T$  – транспонирование. Матрица  $W_f$  размером  $n \times n$  определяется на основе априорной информации о числовых харак-

теристиках вектора шума  $\eta$  и, как правило, с точностью до константы равна  $V_\eta^{-1}$  ( $V_\eta$  – корреляционная матрица вектора шума). Матрица  $W_\varphi$  размером  $m \times m$  характеризует «априорную гладкость» вектора  $\varphi$  и определяется требуемым порядком регуляризации [2–4].

Известные алгоритмы выбора  $\alpha$  [1–5] позволяют вычислить приемлемое значение  $\alpha$  и гарантируют (при некоторых условиях) сходимость  $\varphi_\alpha \rightarrow \varphi^+$  при стремлении уровня шума к нулю. Вектор  $\varphi_\alpha$  можно назвать глобальным регуляризованным решением системы (1), так как оно получено подбором только одного параметра  $\alpha$ , чем обусловлен существенный недостаток методов глобальной регуляризации, проявляющийся при восстановлении контрастных сигналов и изображений. Соответствующий этим сигналам вектор  $\varphi$  имеет группы рядом стоящих проекций с мало изменяющимися амплитудами проекций в каждой группе («плоские» участки сигнала) и скачкообразное изменение амплитуды при переходе от одного «плоского» участка к другому. Для сохранения скачков амплитуды необходимо уменьшать величину  $\alpha$ , но это вызывает появление осцилляций на «плоских» участках сигнала. Увеличение  $\alpha$  приводит к обратному эффекту.

Локальные регуляризирующие алгоритмы, основанные на концепции винеровской фильтрации [6–8], улучшают точность решения, но неизбежный переход из частотной области (в которой происходит вычисление отношений шум/сигнал) в пространственную ухудшает качество восстановления контрастных сигналов и изображений.

В данной работе предлагается подход к построению нового класса локальных регуляризирующих алгоритмов. В этих алгоритмах присутствует векторный параметр регуляризации, позволяющий локально управлять гладкостью регуляризованного решения.

**Локальный регуляризирующий алгоритм.** Можно показать, что решение  $\varphi_\alpha$  системы (3) является точкой минимума квадратичного функционала

$$F_\alpha[\varphi] = \left\| \tilde{f} - K\varphi \right\|_{W_f}^2 + \alpha \left\| \varphi \right\|_{W_\varphi}^2,$$

где  $\left\| \varphi \right\|_{W_\varphi}^2 = \varphi^T W_\varphi \varphi$  – взвешенная норма вектора  $\varphi$ . Обычно для получения гладкого решения в качестве  $W_\varphi$  принимают трехдиагональную матрицу размером  $m \times m$ :

$$W_\varphi = \begin{vmatrix} 1 & -1 & & 0 \\ -1 & 2 & -1 & \\ & \ddots & \ddots & \\ & & \ddots & \\ 0 & & -1 & 1 \end{vmatrix},$$

и тогда функционал  $F_\alpha[\varphi]$  можно записать в виде

$$F_\alpha[\varphi] = \left\| \tilde{f} - K\varphi \right\|_{W_f}^2 + \alpha \sum_{j=2}^m (\varphi_j - \varphi_{j-1})^2.$$

Вместо скалярного параметра регуляризации, введем во второе слагаемое этого функционала векторный параметр регуляризации:

$$\bar{\mu} = \{\mu_2, \mu_3, \dots, \mu_m\}. \quad (4)$$

Тогда имеем новый сглаживающий функционал

$$F_\alpha[\phi, \bar{\mu}] = \left\| \tilde{f} - K\phi \right\|_{W_f}^2 + \sum_{j=2}^m \mu_j^2 (\phi_j - \phi_{j-1})^2. \quad (5)$$

Определив матрицу

$$M(\bar{\mu}) = \begin{vmatrix} \mu_2^2 & -\mu_2^2 & & 0 \\ -\mu_2^2 & (\mu_2^2 + \mu_3^2) & -\mu_3^2 & \\ 0 & -\mu_3^2 & (\mu_3^2 + \mu_4^2) & -\mu_4^2 \\ & & \ddots & \\ 0 & & -\mu_m^2 & \mu_m^2 \end{vmatrix}, \quad (6)$$

выражение (5) можно переписать в виде

$$F_\alpha[\phi, \bar{\mu}] = \left\| \tilde{f} - K\phi \right\|_{W_f}^2 + \|\phi\|_{M(\bar{\mu})}^2. \quad (7)$$

Введем функционал

$$\Gamma[\bar{\mu}] = \gamma_1^2 \sum_{j=2}^m (\mu_j - \gamma_0)^2 + \gamma_2^2 \sum_{j=3}^m (\mu_j - \mu_{j-1})^2 \quad (8)$$

и ограничения  $0 \leq \mu_j \leq \gamma_0, j=2, \dots, m$ .

Очевидно, что при  $\mu_j \rightarrow \gamma_0$  уменьшается величина функционала  $\Gamma[\bar{\mu}]$ , но увеличивается слагаемое  $\|\phi\|_{M(\bar{\mu})}^2$  функционала (7). Учитывая такую взаимосвязь, введем новый функционал (назовем его локальным сглаживающим функционалом)  $\Phi[\phi, \bar{\mu}] = F[\phi, \bar{\mu}] + \Gamma[\bar{\mu}]$  и определим точку его минимума  $(\phi_{\bar{\mu}}^*, \bar{\mu}^*)$  из условий

$$\frac{\partial \Phi[\phi, \bar{\mu}]}{\partial \phi_j} = 0, \quad j=1, \dots, m; \quad (9)$$

$$\frac{\partial \Phi[\phi, \bar{\mu}]}{\partial \mu_j} = 0, \quad j=2, \dots, m. \quad (10)$$

Вектор  $\phi_{\bar{\mu}}$ , удовлетворяющий (9) при заданном векторе  $\bar{\mu}$ , является решением системы линейных уравнений

$$(K^T W_f K + M(\bar{\mu})) \phi_{\bar{\mu}} = K^T W_f \tilde{f}, \quad (11)$$

где матрица  $M(\bar{\mu})$  определяется соотношением (6). Условия (10) приводят к следующей системе уравнений, состоящей из  $(m-1)$  уравнений относительно  $(m-1)$  величин  $\mu_2, \mu_3, \dots, \mu_m$ :

$$\begin{aligned} [(\varphi_2 - \varphi_1)^2 + \gamma_1^2 + 2\gamma_2^2]\mu_2 - \gamma_2^2\mu_3 &= \gamma_1^2\gamma_0; \\ -\gamma_2^2\mu_{i-1} + [(\varphi_i - \varphi_{i-1})^2 + \gamma_1^2 + 2\gamma_2^2]\mu_i - \gamma_2^2\mu_{i+1} &= \gamma_1^2\gamma_0, \quad i=3, \dots, m-1; \\ -\gamma_2^2\mu_{m-1} + [(\varphi_m - \varphi_{m-1})^2 + \gamma_1^2 + 2\gamma_2^2]\mu_m &= \gamma_1^2\gamma_0. \end{aligned}$$

Перепишем эту систему в матричном виде:

$$A(\varphi)\bar{\mu} = \bar{\gamma}, \quad (12)$$

где  $\bar{\gamma}$  – вектор с элементами  $\bar{\gamma}_i = \gamma_1^2\gamma_0, i=1, \dots, m-1$ .

Матрица  $A(\varphi)$  трехдиагональная и для любого вектора  $\varphi$  имеет диагональное преобладание. Следовательно, система (12) всегда имеет единственное решение. Учитывая структуру систем (11), (12), для нахождения точки минимума  $(\varphi_{\bar{\mu}}, \bar{\mu}^*)$  функционала  $\Phi[\varphi, \bar{\mu}]$  используем итерационную процедуру вида

$$\begin{aligned} \varphi_{\bar{\mu}}^{(l)} &= [K^T W_f K + M(\bar{\mu}^{(l)})]^{-1} K^T W_f \tilde{f}; \\ \hat{\mu}^{(l+1)} &= A^{-1}(\varphi_{\bar{\mu}}^{(l)}) \bar{\gamma}, \quad l=0, 1, 2, \dots; \end{aligned} \quad (13)$$

$$\bar{\mu}_i^{(l+1)} = \begin{cases} \hat{\mu}_i^{(l+1)}, & \text{если } 0 \leq \hat{\mu}_i^{(l+1)} \leq \gamma_0; \\ 0, & \text{если } \hat{\mu}_i^{(l+1)} < 0; \\ \gamma_0, & \text{если } \hat{\mu}_i^{(l+1)} > \gamma_0. \end{cases}$$

Условием прекращения итераций является одновременное выполнение неравенств:

$$\frac{\|\mu^{(l)} - \mu^{(l-1)}\|}{\|\mu^{(l)}\|} \leq \epsilon, \quad \frac{\|\varphi_{\bar{\mu}}^{(l)} - \varphi_{\bar{\mu}}^{(l-1)}\|}{\|\varphi_{\bar{\mu}}^{(l)}\|} \leq \epsilon.$$

Здесь  $\epsilon$  – достаточно малая величина порядка  $10^{-4} \div 10^{-3}$ . В качестве начального значения  $\bar{\mu}^{(0)}$  примем вектор с проекциями

$$\mu_i^{(0)} = \sqrt{\alpha_W}/2, \quad i=2, \dots, m, \quad (14)$$

где  $\alpha_W$  – значение параметра регуляризации, гарантирующее сходимость регуляризованного решения, найденного из системы (3), к искомому псевдorешению  $\varphi^+$ . Заметим, что выбор такого значения может быть осуществлен из принципа невязки [1, 2, 4] или критерия оптимальности [2, 5].

Вычислительный эксперимент, проведенный для матрицы  $K$  различных размеров, чисел обусловленности  $(10^3, 10^6, 10^{12})$  и при различных векторах

$\phi$ , показал, что число итераций, необходимых для завершения процесса (13) (величина  $\epsilon = 10^{-3}$ ), не превышало 10, а типичное число итераций равнялось 4–7.

**Утверждение.** Если

$$\mu_i^{(0)} = \sqrt{\alpha_w} / 2, \quad i = 2, \dots, m; \quad (15)$$

$$\gamma_0 = \sqrt{\alpha_w}, \quad (16)$$

то вектор  $\phi_{\bar{\mu}}^*$  является регуляризированным решением системы (1).

Доказательство этого утверждения опирается на следующие свойства:

– вектор  $\phi_{\bar{\mu}}^*$  как решение системы (11) существует при любой правой части  $\tilde{f}$ ;

– при выполнении (15)  $\mu_j^*$  удовлетворяет условию  $0 \leq \mu_j^* \leq \gamma_0$ ;

– из сходимости глобального регуляризированного решения  $\phi_{\alpha}$ , построенного при  $\alpha = \alpha_w$  (при этом  $\alpha_w \rightarrow 0$ ), и условия (16) следуют сходимости  $\gamma_0 \rightarrow 0$ ,  $\mu_j^* \rightarrow 0$  и сходимость решения  $\phi_{\bar{\mu}} \rightarrow \phi^+$  при стремлении уровня шума к нулю.

Заметим, что наряду с функционалом  $\Gamma(\bar{\mu})$ , определенным выражением (8), можно построить и другие функционалы, например

$$\Gamma(\bar{\mu}) = \gamma_1^2 \sum_{j=2}^m [\gamma_0 - (\gamma_0^2 - (\gamma_0 - \mu_j)^2)^{1/2}] + \gamma_2^2 \sum_{j=3}^m (\mu_j - \mu_{j-1})^2. \quad (17)$$

Данный функционал имеет то же поведение, что и функционал (8), однако условия (10) приводят к системе нелинейных уравнений относительно  $\mu_j$ . Это означает: а) добавление к «внешней» итерационной процедуре (13) «внутренней» итерационной процедуры решения данной системы нелинейных уравнений; б) увеличение вычислительных затрат при нахождении вектора  $\mu_j^*$ .

Положительным моментом является более высокая точность решения  $\phi_{\bar{\mu}}^*$  (уменьшение среднеквадратической ошибки может составлять 3–7 %).

**Выбор параметров локального регуляризирующего алгоритма.** Функционал  $\Gamma[\bar{\mu}]$  содержит два параметра:  $\gamma_1^2$ ,  $\gamma_2^2$ . Очевидно, что от значений этих параметров зависит точность регуляризированного решения  $\phi_{\bar{\mu}}^*$ . Для их выбора обратимся к критерию оптимальности [2, 5], используемому при оценивании оптимального значения  $\alpha_{\text{opt}}$  параметра регуляризации. Этот параметр доставляет минимум среднеквадратической ошибки регуляризованного решения  $\phi_{\alpha}$ , определяемой функционалом

$$\Delta(\phi_{\alpha}) = M \left[ \|\phi_{\alpha} - \phi^+\|^2 \right],$$

где  $M[\cdot]$  – оператор математического ожидания по ансамблю реализаций случайного вектора  $f$ .

Введем билинейную форму:

$$\rho_W(\gamma_1, \gamma_2) = \sum_{i=1}^n \frac{e_i(\gamma_1, \gamma_2) \tilde{f}_i}{\sigma_i^2}, \quad (18)$$

где  $e_i(\gamma_1, \gamma_2)$  –  $i$ -я проекция вектора невязки  $e(\gamma_1, \gamma_2) = \tilde{f} - K\Phi_{\bar{\mu}}^*$ ;  $\Phi_{\bar{\mu}}^*$  – решение, вычисленное при заданных величинах  $\gamma_1, \gamma_2$ . В качестве  $\gamma_1, \gamma_2$  будем брать значения  $\gamma_{W_1}, \gamma_{W_2}$ , для которых имеет место неравенство

$$v_n(\beta/2) \leq \rho_W(\gamma_1, \gamma_2) \leq v_n(1-\beta/2), \quad (19)$$

где  $v_n(\beta/2)$  – квантиль  $\chi^2$ -распределения с  $n$  степенями свободы уровня  $\beta/2$ ,  $\beta = 0,10$ . Для вычисления  $\gamma_{W_1}, \gamma_{W_2}$  используется любой итерационный алгоритм решения нелинейного уравнения

$$\rho_W(\gamma_1, \gamma_2) = n, \quad (20)$$

итерации которого прекращаются, как только выполнится условие (19).

Многочисленные вычислительные эксперименты с различными векторами  $\Phi$  показали, что величина  $\gamma_{W_1}$  изменяется в пределах  $1 \div 10$ ,  $\gamma_{W_2}$  – в пределах  $0,1 \div 10$ . Так как вычисление  $\gamma_{W_1}, \gamma_{W_2}$  требует значительного объема вычислений, то можно рекомендовать априорное задание величин  $\gamma_{W_1} = 5$ ,  $\gamma_{W_2} = 0,5$ .

**Локальный алгоритм фильтрации.** Наряду с решением СЛАУ вида (1), при обработке экспериментальных данных часто возникает задача фильтрации зашумленных сигналов и изображений, описываемых моделью  $\tilde{f}_j = f_j + \eta_j$ ,  $j = 1, \dots, n$ , где  $f_j$  – точное (но неизвестное) значение сигнала;  $\eta_j$  – случайный шум измерения. Необходимо по «зашумленным» значениям  $\{f_j\}$  вычислить оценку  $\tilde{f}_j$ , наилучшим образом (с точки зрения принятого критерия) приближающую значение  $f_j$ .

Приняв в качестве матрицы  $K$  единичную матрицу  $I$ , задачу решения СЛАУ (1) трансформируем в задачу фильтрации зашумленного сигнала. Поэтому, используя изложенный выше подход, построим локальный алгоритм фильтрации. Введем функционал

$$\begin{aligned} \Phi[f, \mu] = & \sum_{j=1}^n \frac{(\tilde{f}_j - f_j)^2}{\sigma_j^2} + \sum_{j=2}^n \mu_j^2 (\phi_j - \phi_{j-1})^2 + \\ & + \gamma_1^2 \sum_{j=2}^n (\mu_j - \gamma_0)^2 + \gamma_2^2 \sum_{j=3}^n (\mu_j - \mu_{j-1})^2 \end{aligned}$$

и определим точку минимума  $(f_{\bar{\mu}}^*, \bar{\mu}^*)$  этого функционала из условий

$$\frac{\partial \Phi[f, \bar{\mu}]}{\partial f_j} = 0, \quad j = 1, \dots, n; \quad \frac{\partial \Phi[f, \bar{\mu}]}{\partial \mu_j} = 0, \quad j = 2, \dots, n.$$

Для нахождения точки минимума используется итерационная процедура, аналогичная (13), с заданием начального значения  $\bar{\mu}^{(0)}$  согласно выраже-

нию (14). Также по аналогии выбираются параметры  $\gamma_1, \gamma_2$ , входящие в функционал  $\Phi[f, \bar{\mu}]$ . В качестве «выходного» сигнала локального сглаживающего фильтра принимается вектор  $f_{\bar{\mu}}^*$ .

Результаты вычислительного эксперимента показывают более высокую точность предлагаемого алгоритма при сглаживании контрастных сигналов по сравнению с алгоритмами фильтрации на основе дискретного преобразования Фурье, фильтром скользящего среднего и медианным фильтром.

**Результаты вычислительного эксперимента.** Для проверки работоспособности и изучения свойств предложенного локального регуляризирующего алгоритма был проведен обширный вычислительный эксперимент. Приведем результаты следующих экспериментов.

Матрица  $K$  системы (1) имела размер  $80 \times 50$  и число обусловленности, приблизительно равное  $10^{12}$ . Вектор  $\phi$ , соответствующий контрастному сигналу, изображен на рис. 1. Проекции точной правой части  $f = K\phi$  искались нормально распределенными псевдослучайными числами с нулевым средним и дисперсией  $\sigma_n^2$ , которая задавалась по относительному уровню шума  $\delta_n = \|\tilde{f} - f\|/\|f\|$ . Так как регуляризированное решение, построенное по случайному вектору  $\tilde{f}$ , является также случайным вектором, а следовательно, норма ошибки решения – случайной величиной, то в качестве меры точности была принята относительная среднеквадратическая ошибка

$$\Delta(\phi_{\bar{\mu}}^*) = \frac{\left( M \left[ \| \phi_{\bar{\mu}}^* - \phi \|^2 \right] \right)^{1/2}}{\| \phi \|},$$

при вычислении которой оператор математического ожидания по ансамблю случайного вектора  $\phi_{\bar{\mu}}^*$  заменялся усреднением по 20 реализациям этого вектора.

На рис. 1 приведены проекции «глобального» регуляризованного решения  $\phi_{\alpha_W}^*$  ( $\alpha_W = 1793$ ) и «локального» регуляризованного решения  $\phi_{\bar{\mu}}^*$  ( $\gamma_0 = \sqrt{1793}; \gamma_{W_1} = 1,0; \gamma_{W_2} = 0,1$ ), построенные для относительного уровня

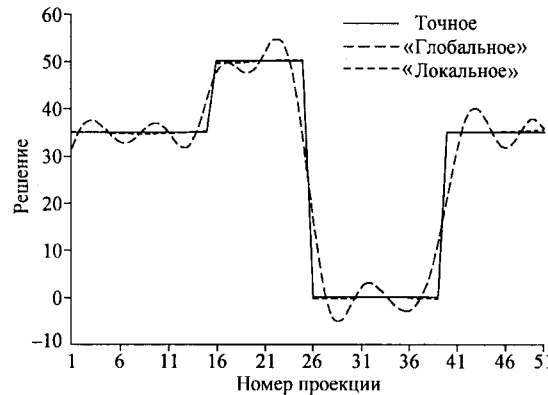


Рис. 1. Проекции точного, «глобального» и «локального» решений при относительном уровне шума 0,01

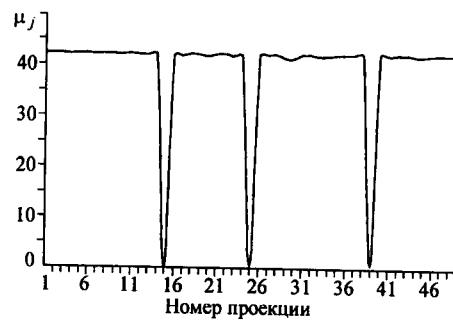


Рис. 2. Проекции векторного параметра регуляризации

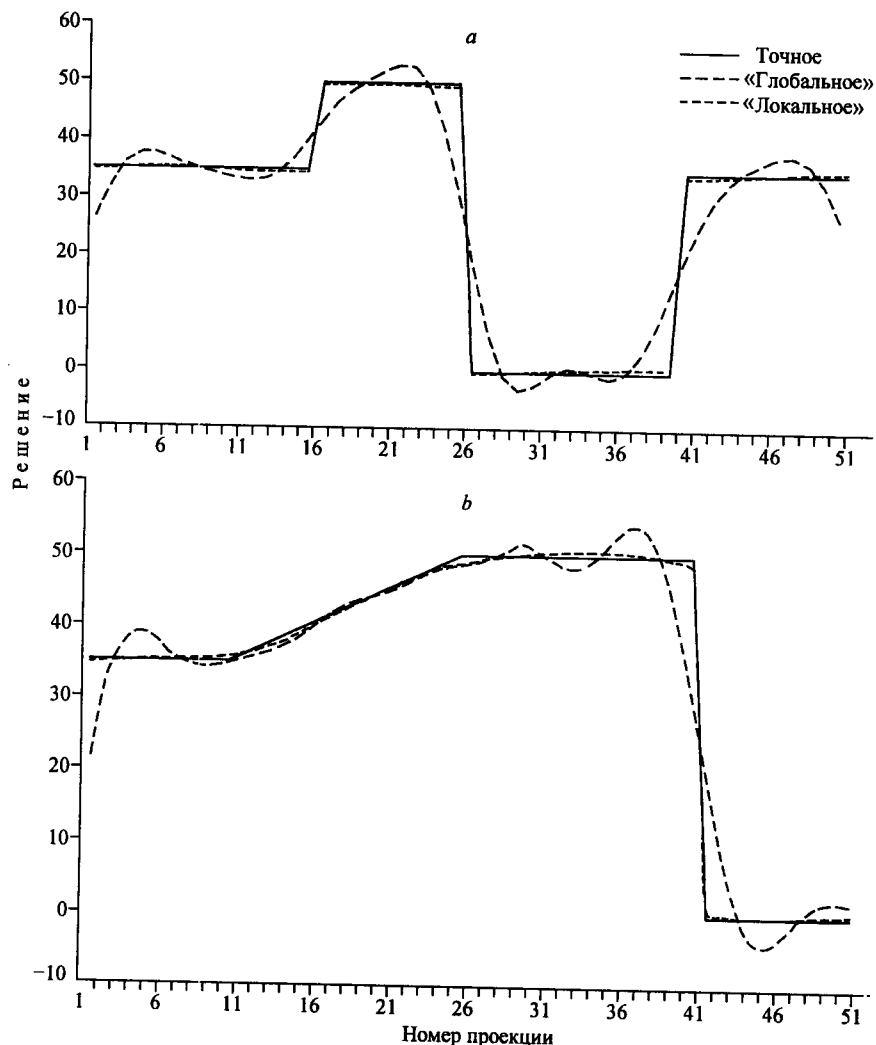


Рис. 3. Проекции точного, «глобального» и «локального» решений при относительном уровне шума 0,10 (а) и другой форме решения (б)

шума  $\delta_\eta = 0,01$  (или иначе 1 %). Видно, что решение  $\phi_{\bar{\mu}}^*$  существенно точнее решения  $\phi_{\alpha_w}$ . Это подтверждают величины  $\Delta(\phi_{\alpha_w}) = 0,0217$ ;  $\Delta(\phi_{\bar{\mu}}^*) = 0,0004$ .

На рис. 2 приведены проекции векторного параметра регуляризации  $\bar{\mu}^*$ , имеющие специфический характер изменения: в точках «скачка» амплитуды контрастного сигнала проекции  $\mu_j$  принимают значения, близкие к нулю, на «плоских» участках  $\mu_j \approx \sqrt{\alpha_w}$ .

На рис. 3, a даны решения  $\phi_{\alpha_w}$ ,  $\phi_{\bar{\mu}}^*$ , построенные при уровне шума  $\delta_\eta = 0,1$ . Даже при таком высоком уровне шума очевидны преимущества решения  $\phi_{\bar{\mu}}^*$  ( $\Delta(\phi_{\alpha_w}) = 0,0302$ ;  $\Delta(\phi_{\bar{\mu}}^*) = 0,00052$ ;  $\gamma_{W_1} = 4,64$ ;  $\gamma_{W_2} = 0,8$ ).

На рис. 3, b приведены регуляризированные решения  $\phi_{\alpha_w}$ ,  $\phi_{\bar{\mu}}^*$ , построенные при уровне шума  $\delta_\eta = 0,1$  и соответствующие другому решению  $\phi$ , которое, кроме скачков и плоских участков, содержит наклонные участки. Заметим, что такая форма решения часто встречается на практике. Вновь очевидны преимущества решения  $\phi_{\bar{\mu}}^*$  ( $\Delta(\phi_{\alpha_w}) = 0,0202$ ;  $\Delta(\phi_{\bar{\mu}}^*) = 0,00022$ ).

**Заключение.** Предложенный локальный регуляризирующий алгоритм с векторным параметром регуляризации не требует задания априорной информации о характеристиках и форме искомого решения и существенно точнее алгоритмов глобальной регуляризации при восстановлении контрастных сигналов и изображений.

#### СПИСОК ЛИТЕРАТУРЫ

1. Тихонов А. Н., Арсенин В. Я. Методы решения некорректных задач. М.: Наука, 1979.
2. Воскобойников Ю. Е. Методы решения некорректных задач параметрической идентификации. Новосибирск: Изд-во НГТУ, 1996.
3. Воскобойников Ю. Е., Преображенский Н. Г., Седельников А. И. Математическая обработка эксперимента в молекулярной газодинамике. Новосибирск: Наука, 1984.
4. Морозов В. А., Гребенников А. И. Методы решения некорректно поставленных задач: алгоритмический аспект. М.: Изд-во МГУ, 1992.
5. Воскобойников Ю. Е. Оценивание оптимального параметра регуляризирующих алгоритмов восстановления изображений // Автометрия. 1995. № 3. С. 68.
6. Арсенин В. Я., Тимонов А. А. О построении регуляризующих операторов, близких к оптимальному, для одномерных и многомерных интегральных уравнений I рода типа свертки // ДАН СССР. 1985. 284, № 6. С. 1289.
7. Арсенин В. Я., Криксин Ю. А., Тимонов А. А. Метод локальной регуляризации линейных операторных уравнений I рода и его приложение // Журн. вычисл. математики и мат. физики. 1988. 28, № 6. С. 793.
8. Воскобойников Ю. Е., Мухина И. Н. Регуляризующий алгоритм восстановления сигналов и изображений с уточнением локальных отношений шум/сигнал // Автометрия. 1999. № 4. С. 71.